

Atelier Neige OSUG – 20 Mai 2016

Observations et modélisation des conditions d'enneigement dans les domaines skiables

impact du damage et de la production de neige

Spandre P.^{1,2,*}, François H.² , Thibert E.² ,
Morin S.¹ , George-Marcelpoil E.² , Lafaysse M.¹ , Lejeune Y.¹

¹ Météo-France - CNRS, Centre d'Etudes de la Neige

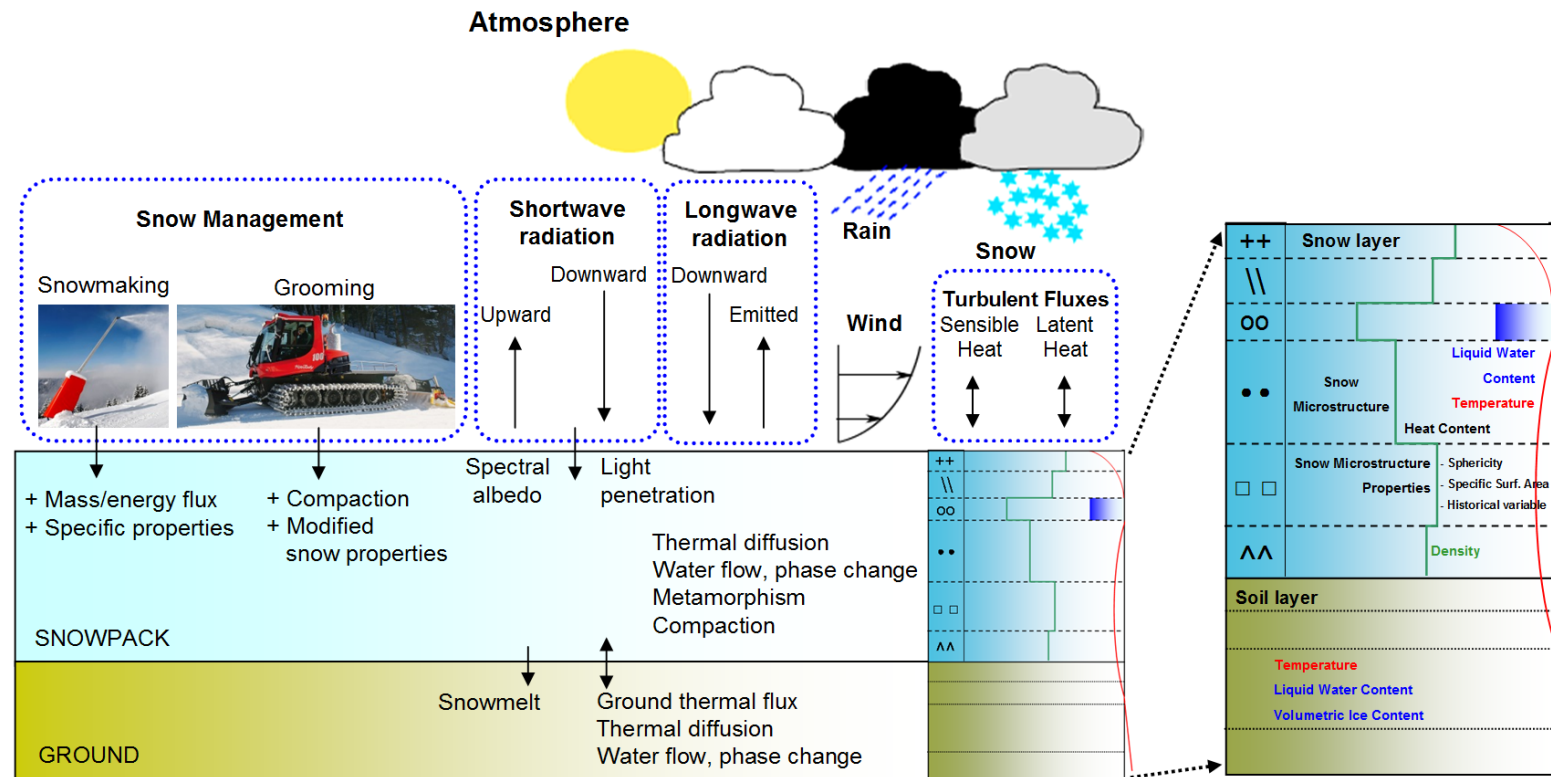
² Université Grenoble Alpes, Irstea,

* pierre.spandre@irstea.fr

Un constat

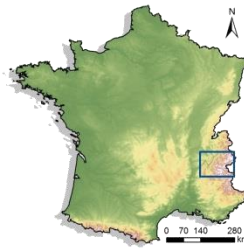


Développement Crocus - Resort



Spandre, P., Morin, S., Lafaysse, M., George-Marcello, E., Francois, H., Lejeune, Y., 2016.
Integration of snow management processes into a detailed snowpack model. Cold Regions Science and Technology doi :10.1016/j.coldregions.2016.01.002

Suivi saisonnier



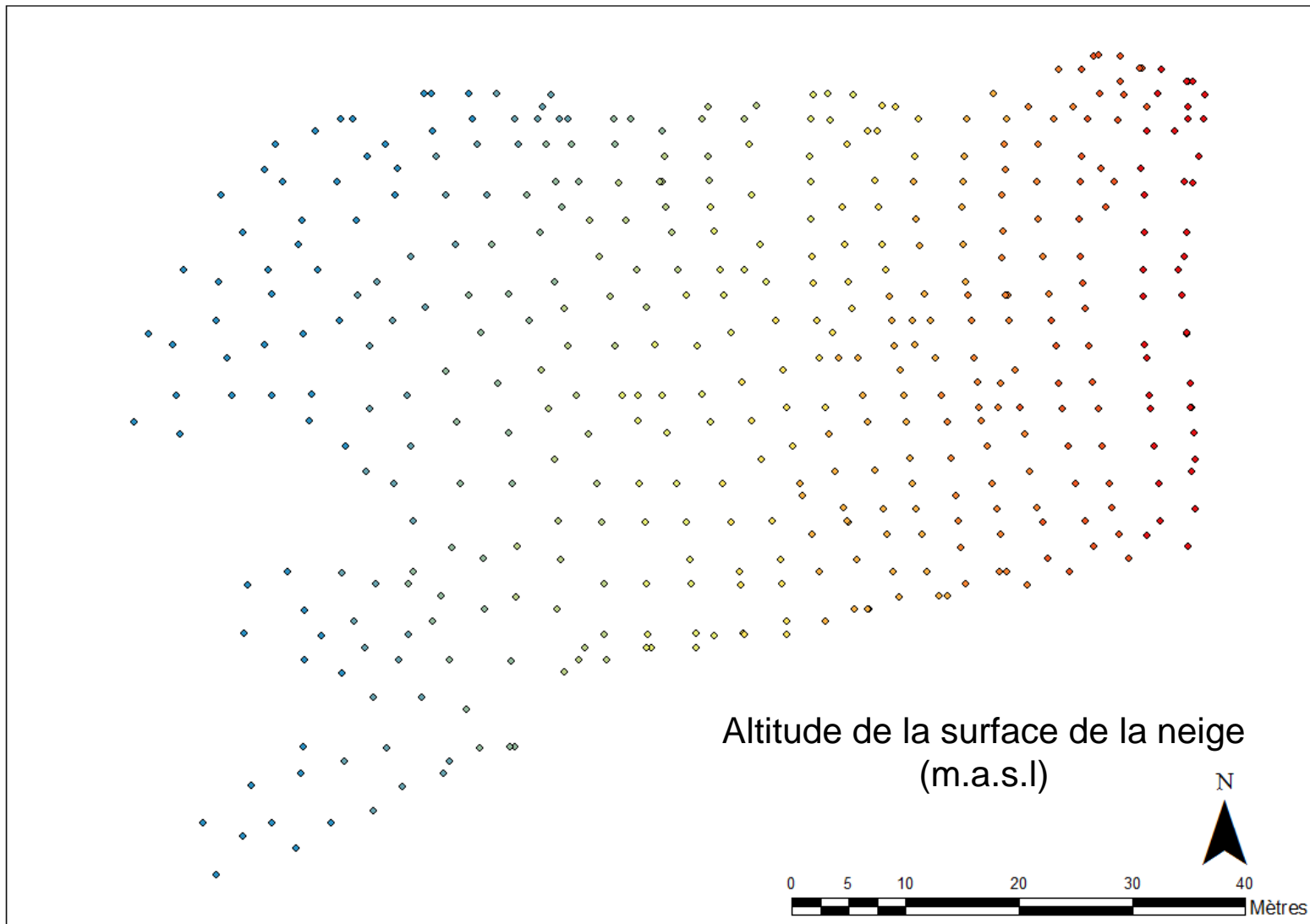
Major cities Altitude
Resorts 4767 m.
0 m.



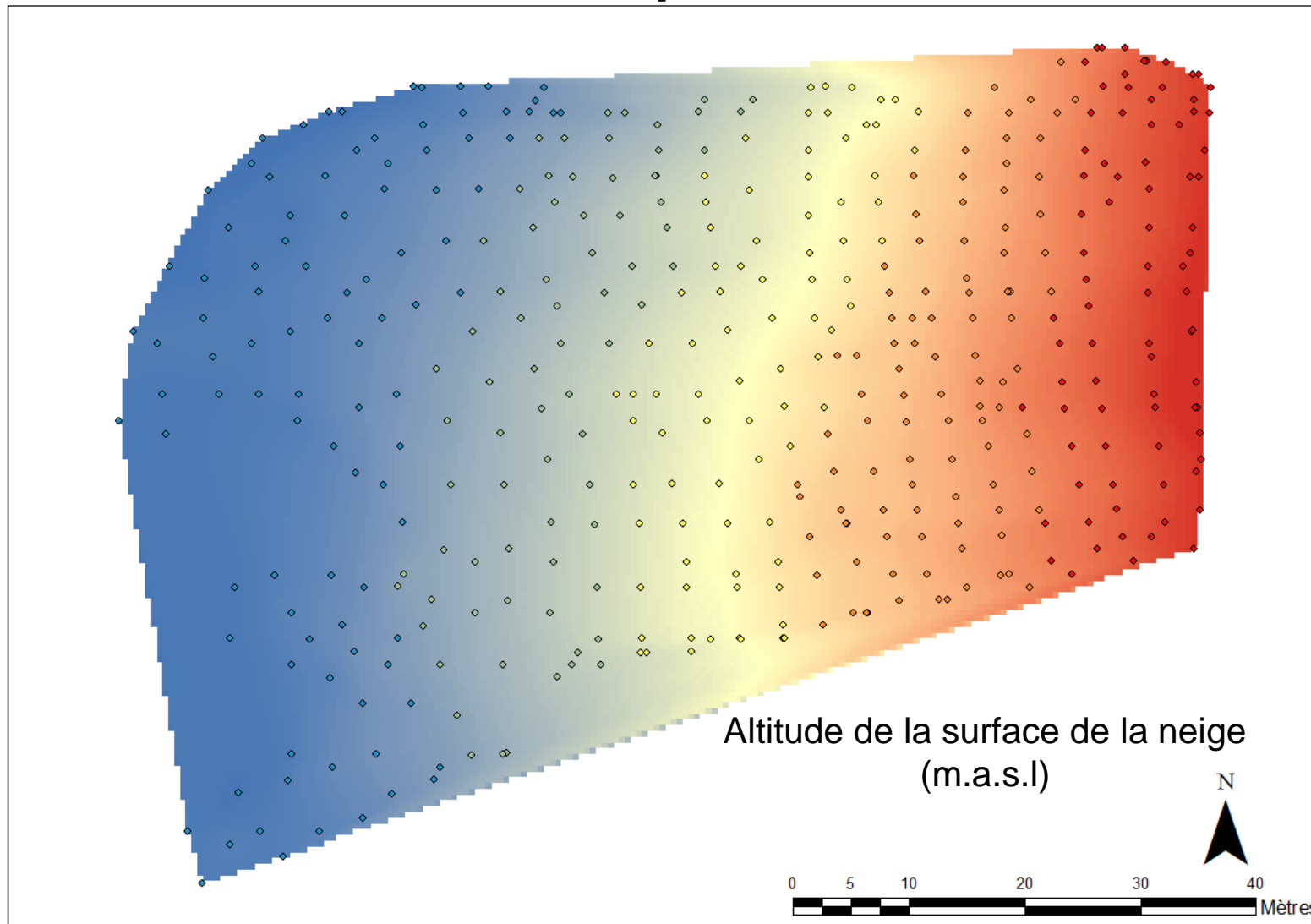
Suivi saisonnier



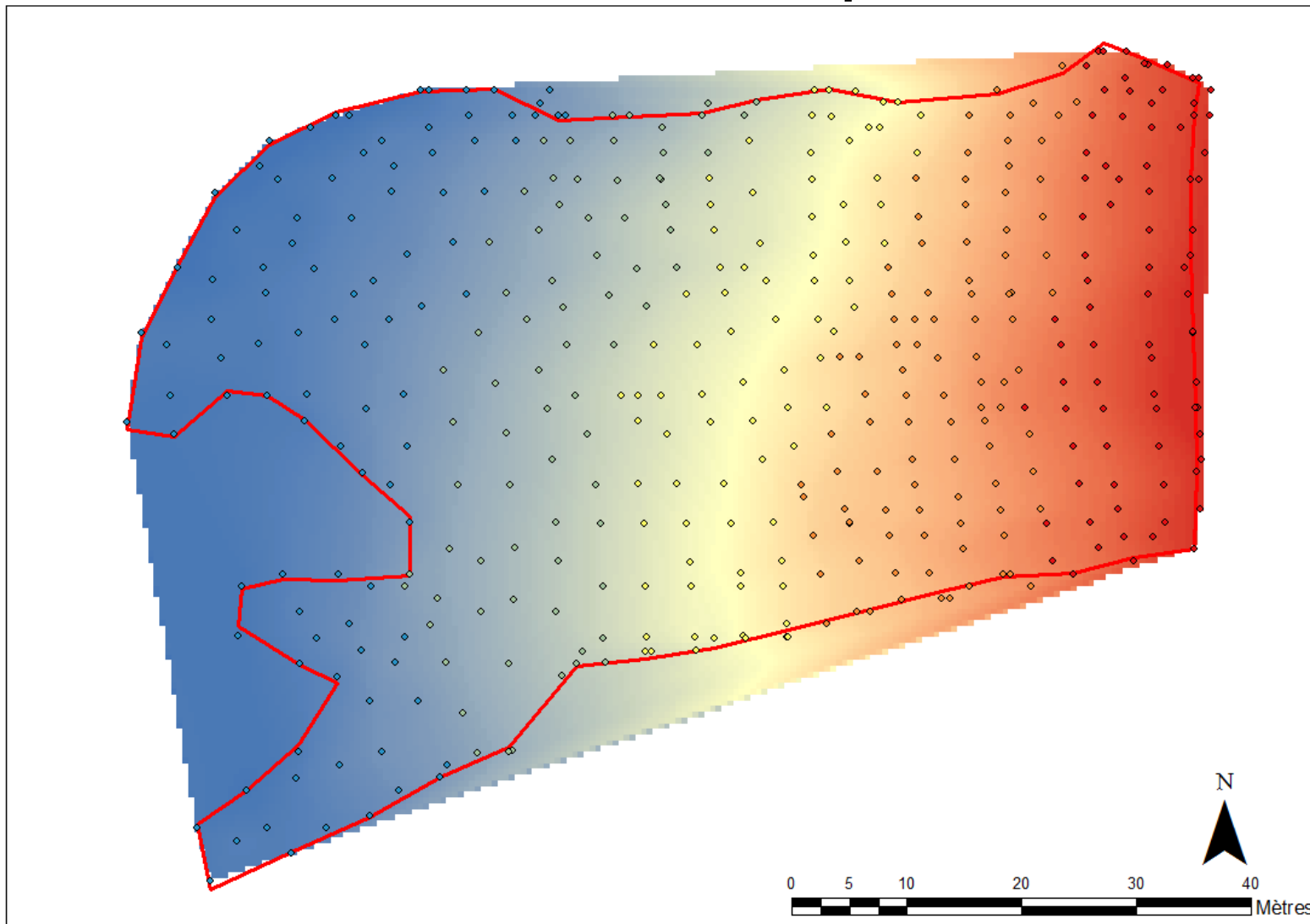
Lever GPS Différentiel



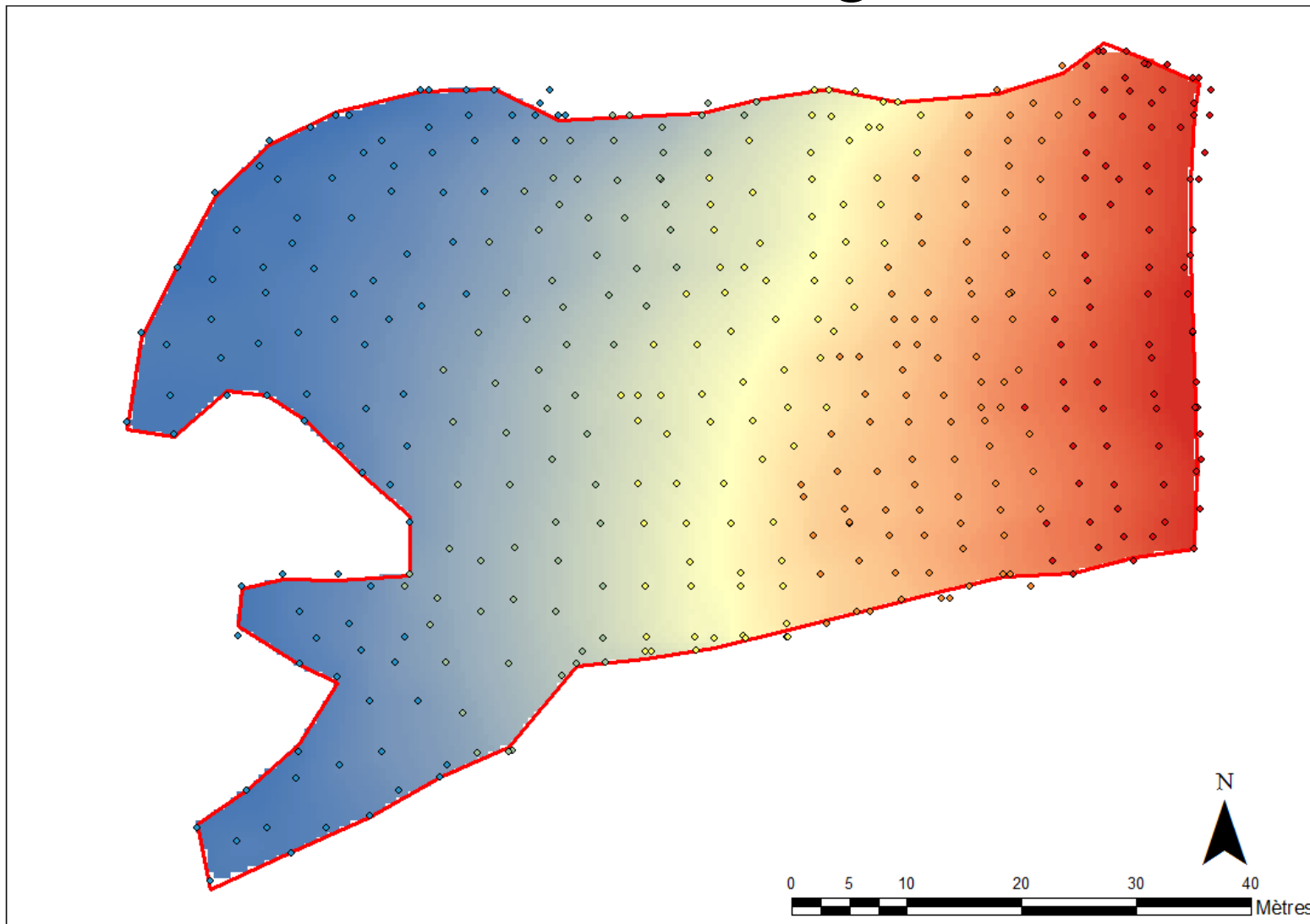
Interpolation



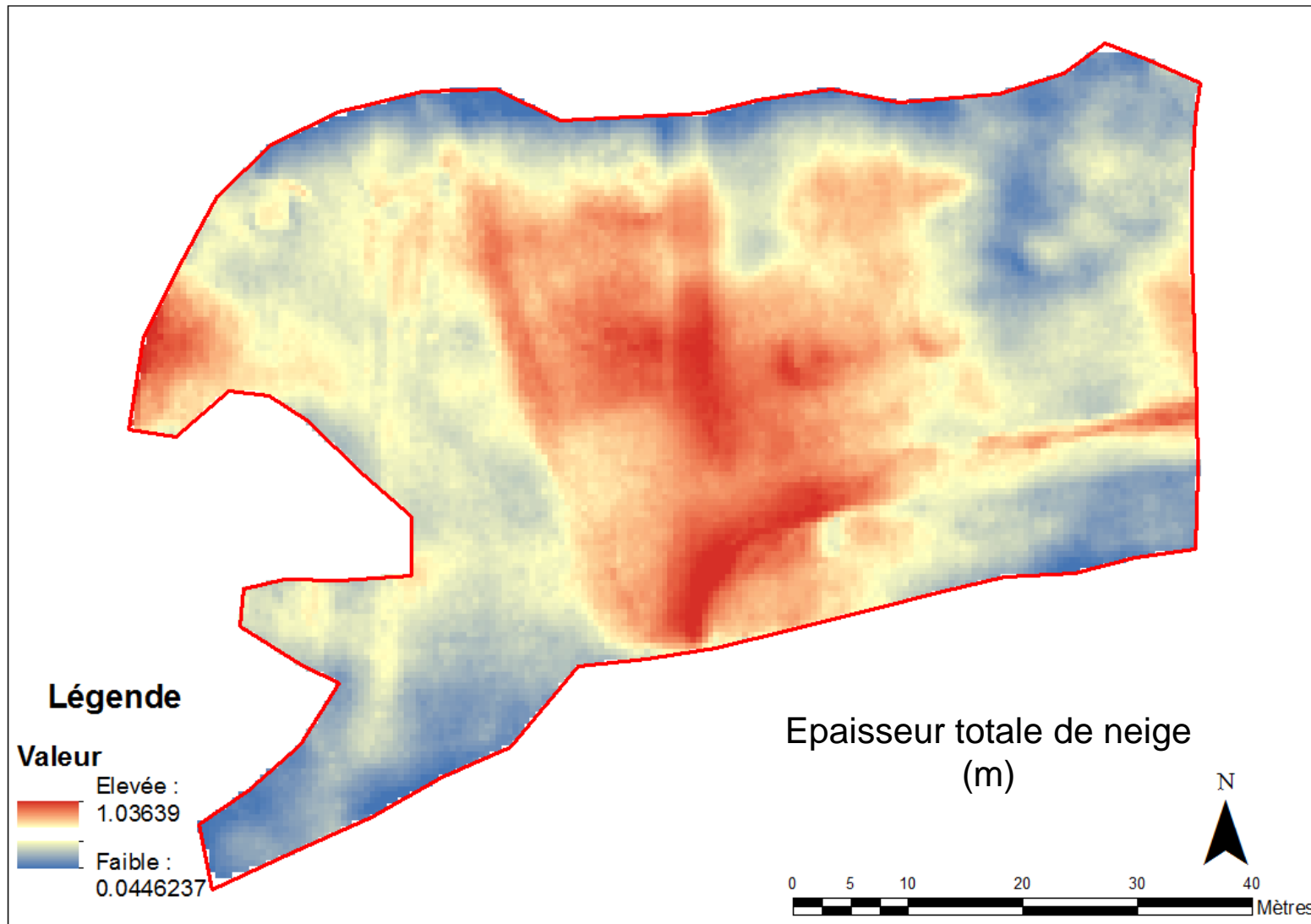
Contour de piste



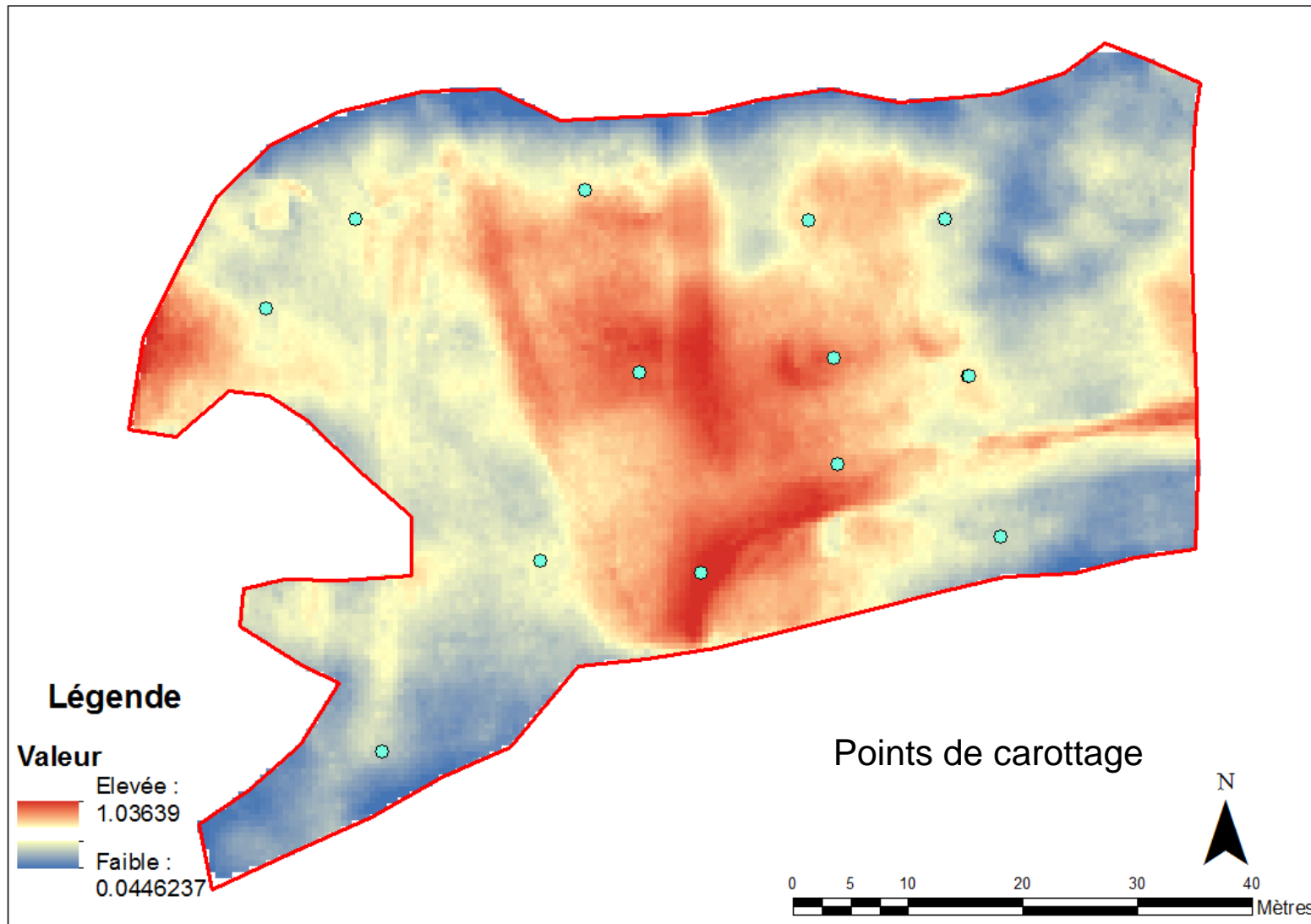
Détourrage



Calcul de HTN

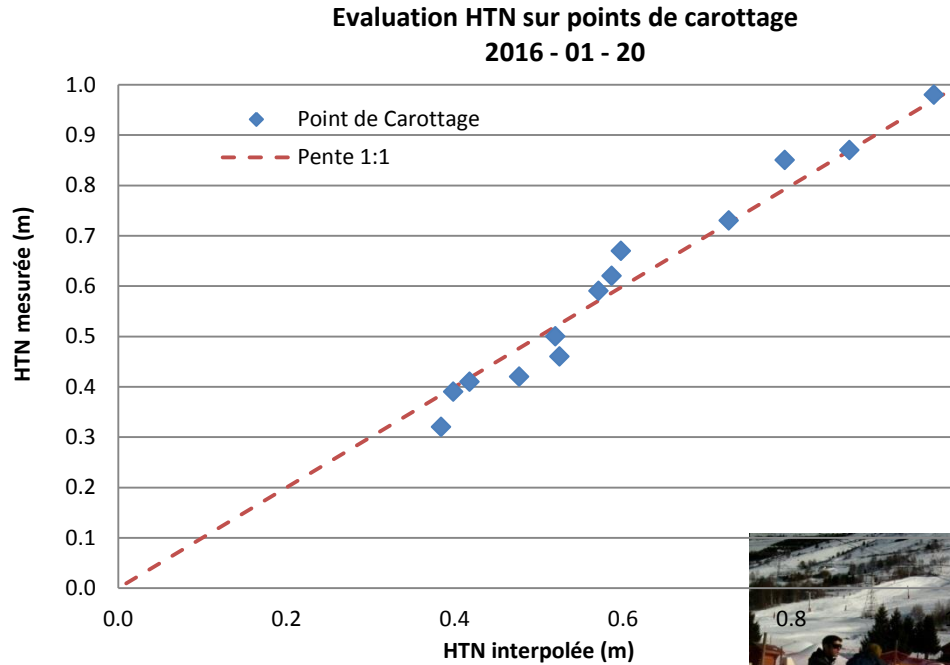


Mesure de densité



Incertitudes

Evaluation par méthode laser scan Evaluation sur les points de carottage



Incertitudes retenues:

HTN : **5 cm**

Densité : **30 kg m⁻³**

Equivalent en Eau (kg m⁻²)

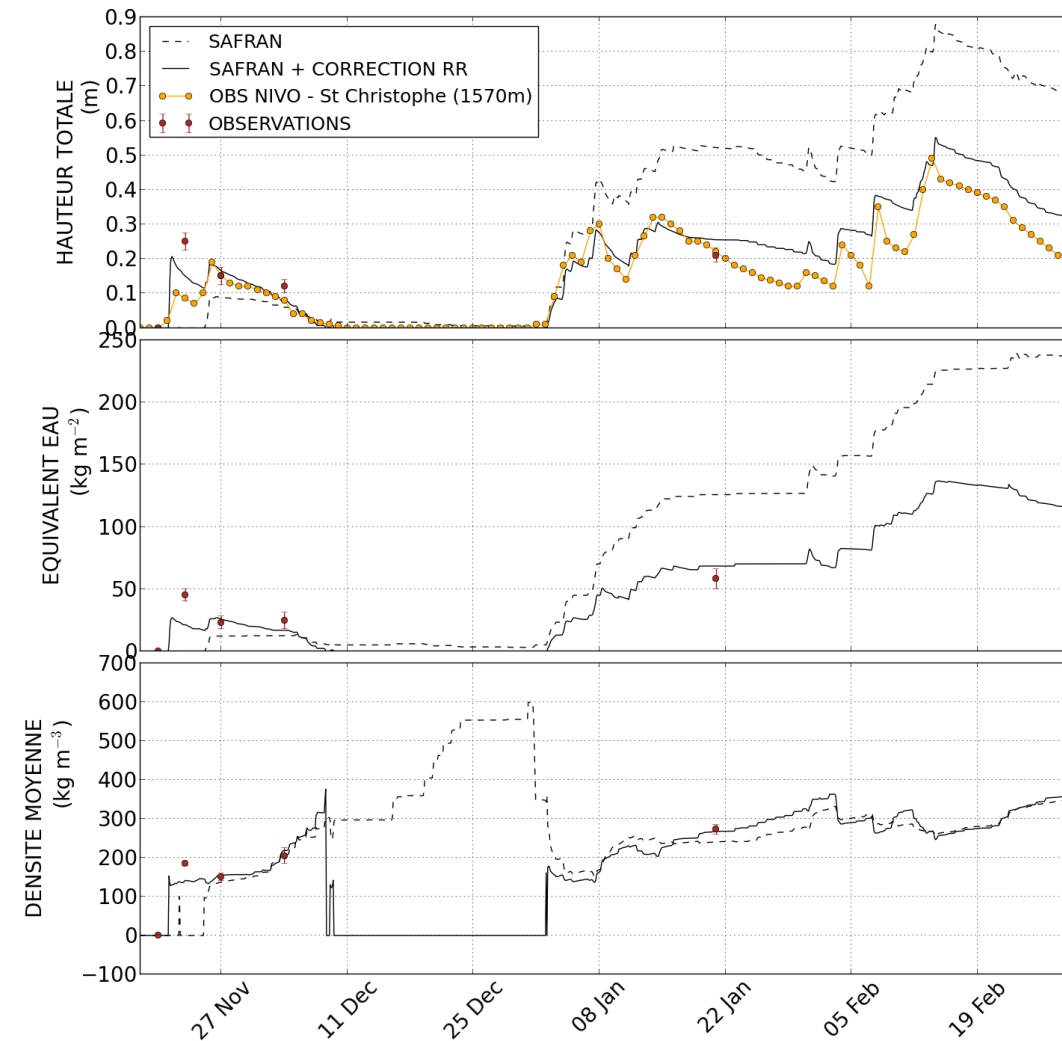
$$\frac{\sigma_{SWE}}{SWE_{moy}} = \frac{\sigma_{Rho}}{Rho_{moy}} + \frac{\sigma_{SD}}{SD_{moy}}$$



Modélisation de l'enneigement

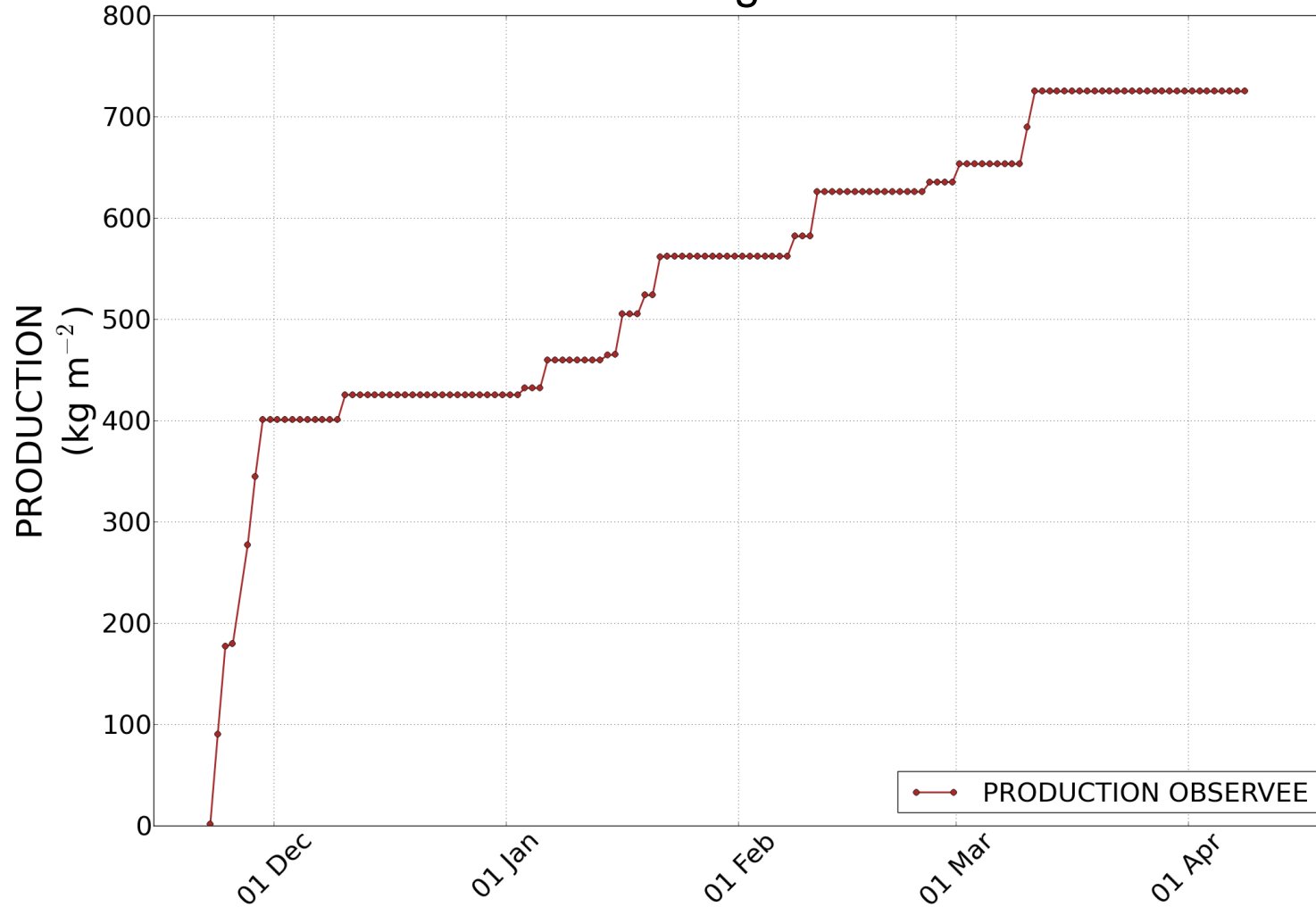
Conditions de neige naturelle

Période
21/11/2015 – 29/02/2016

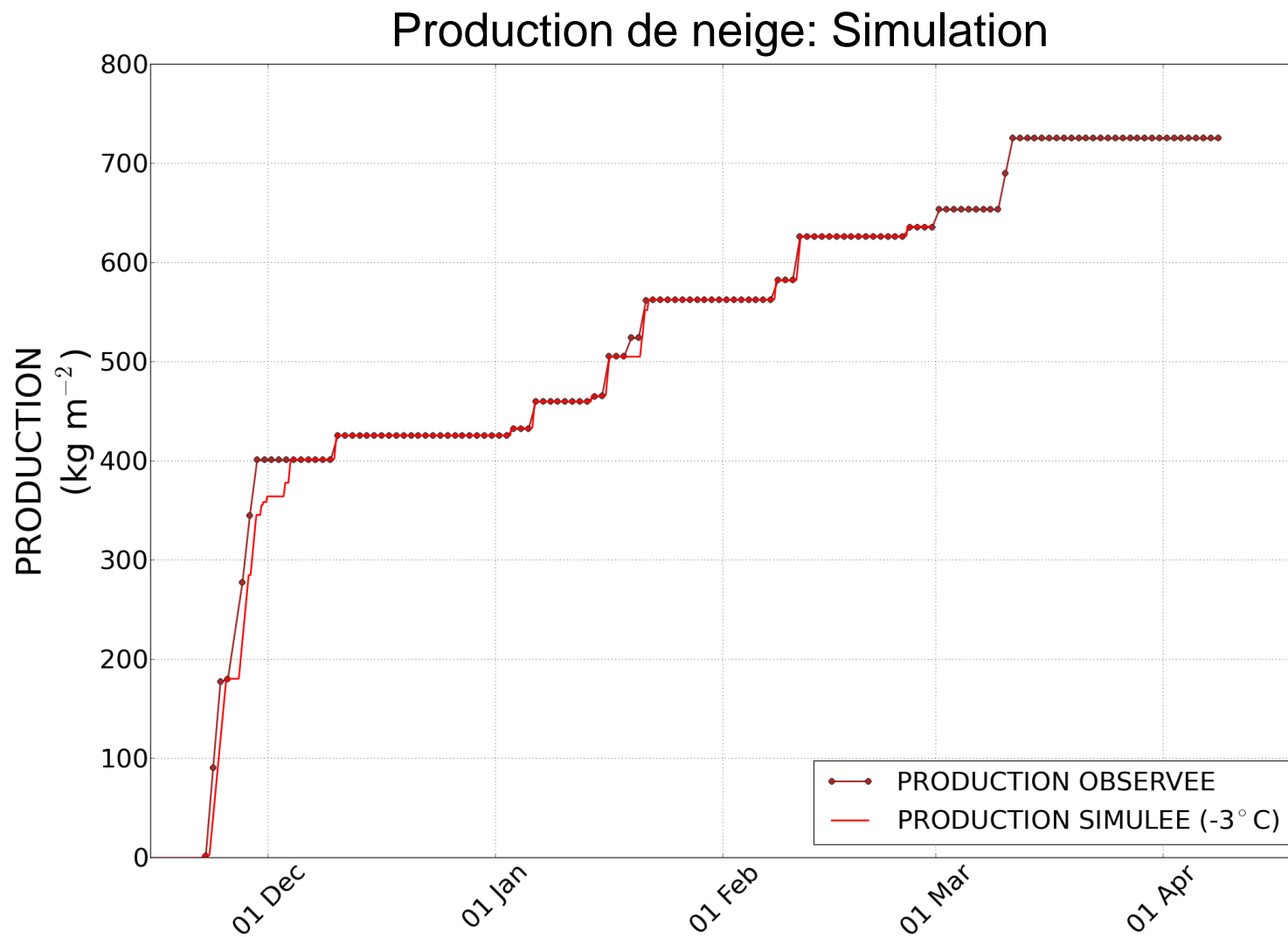


Modélisation de l'enneigement

Production de neige : Observations

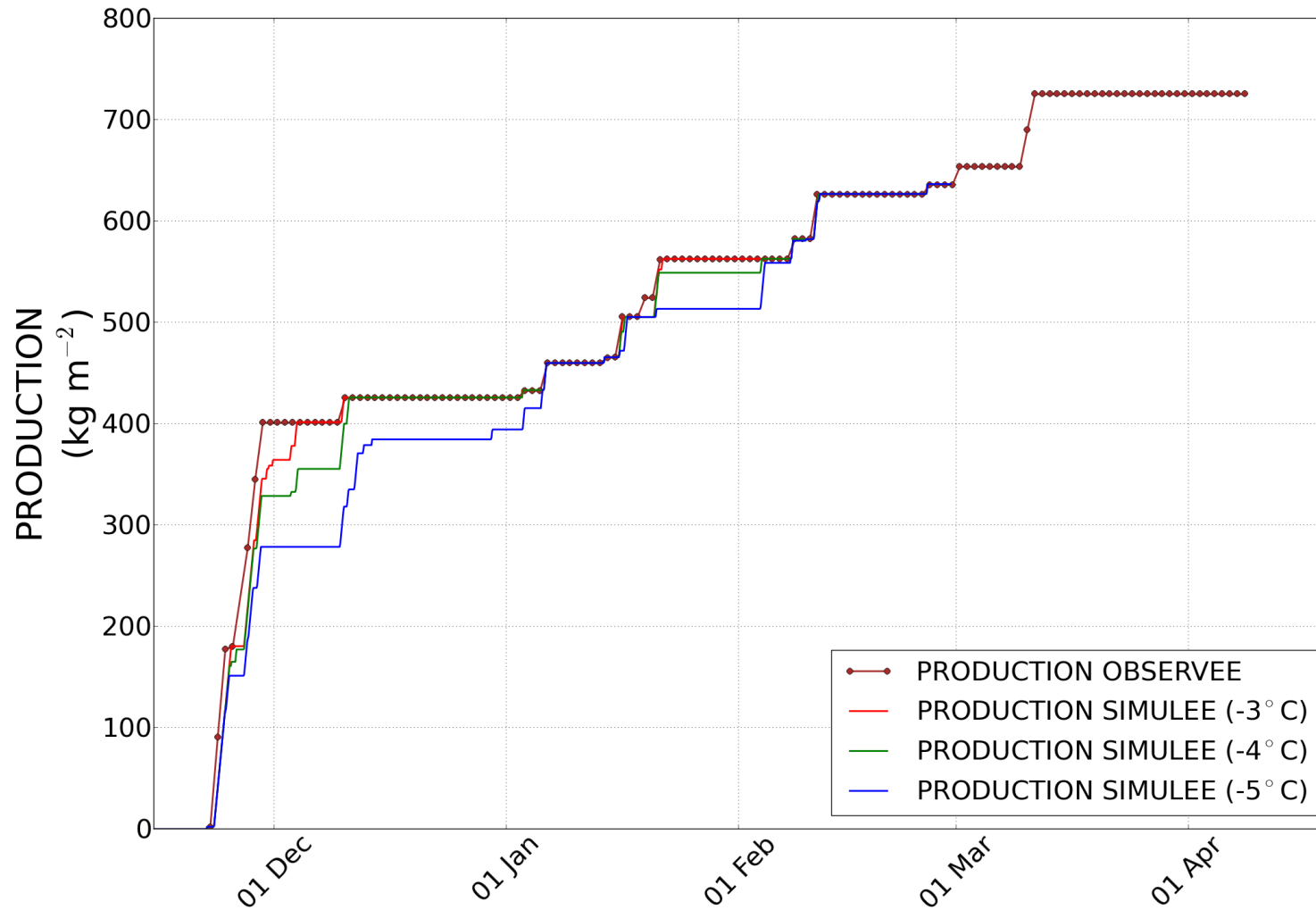


Modélisation de l'enneigement



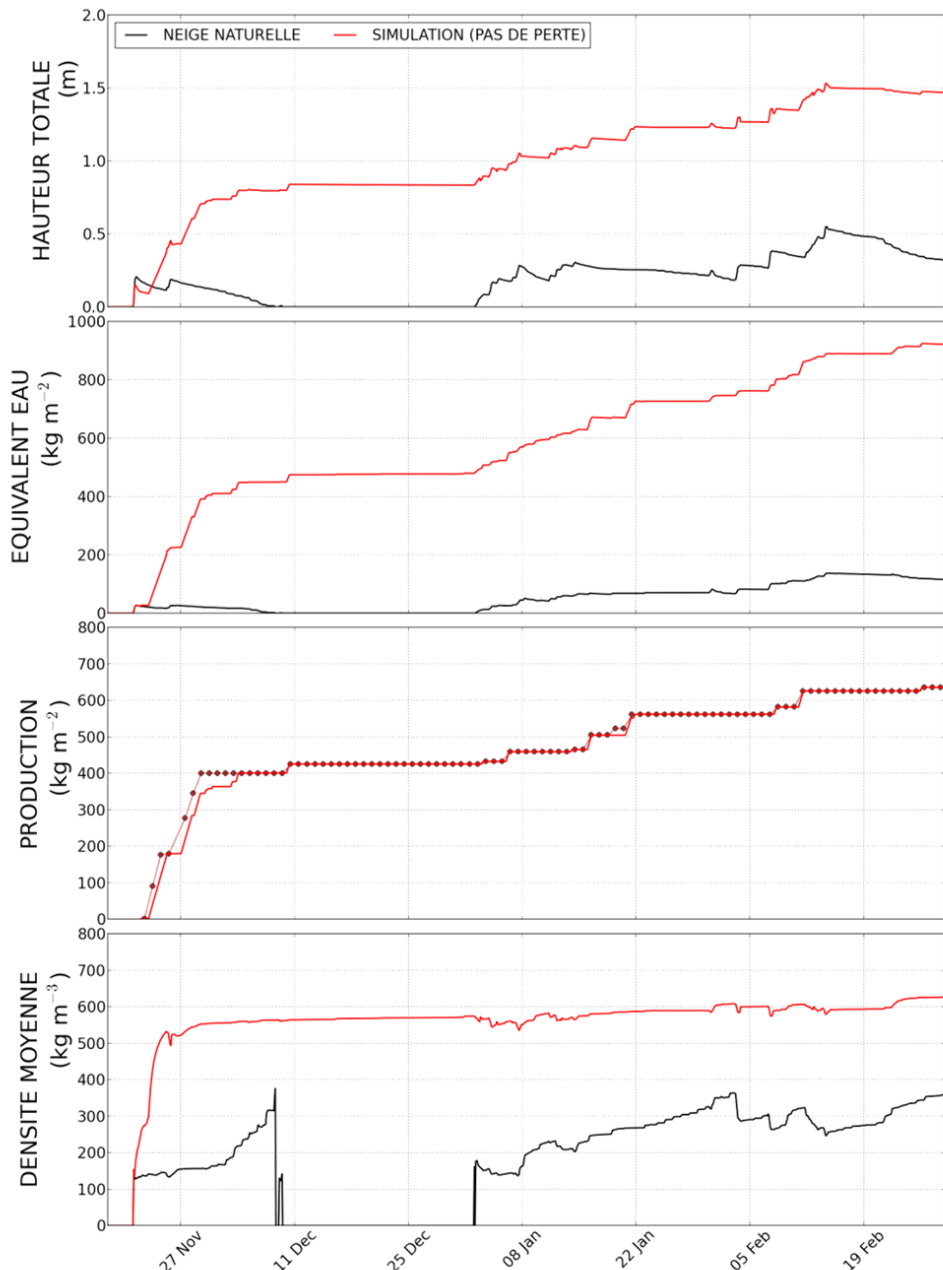
Modélisation de l'enneigement

Production de neige: Sensibilité au seuil de Tw



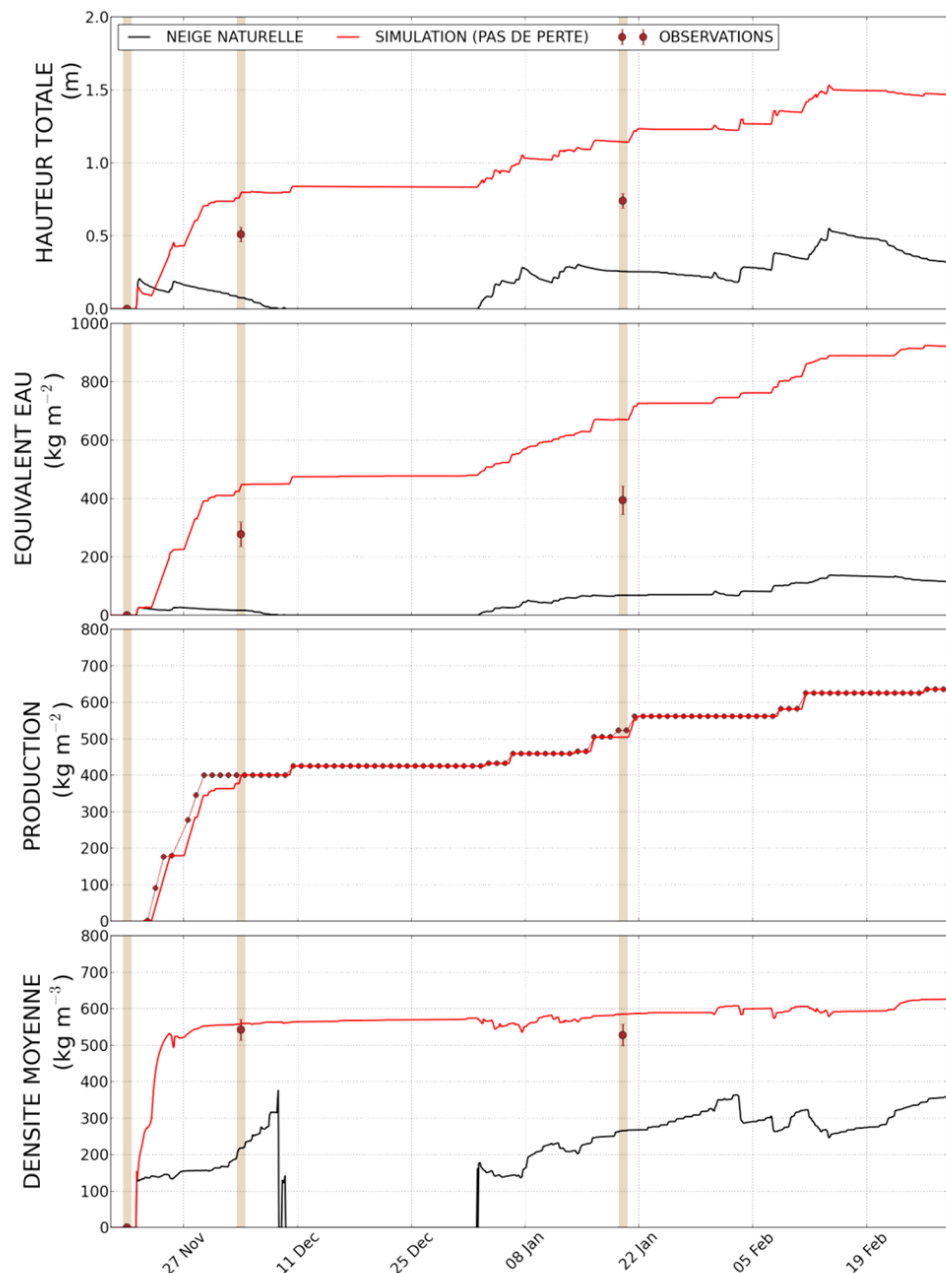
Modélisation de l'enneigement

Piste des Coolidge – 2Alpes



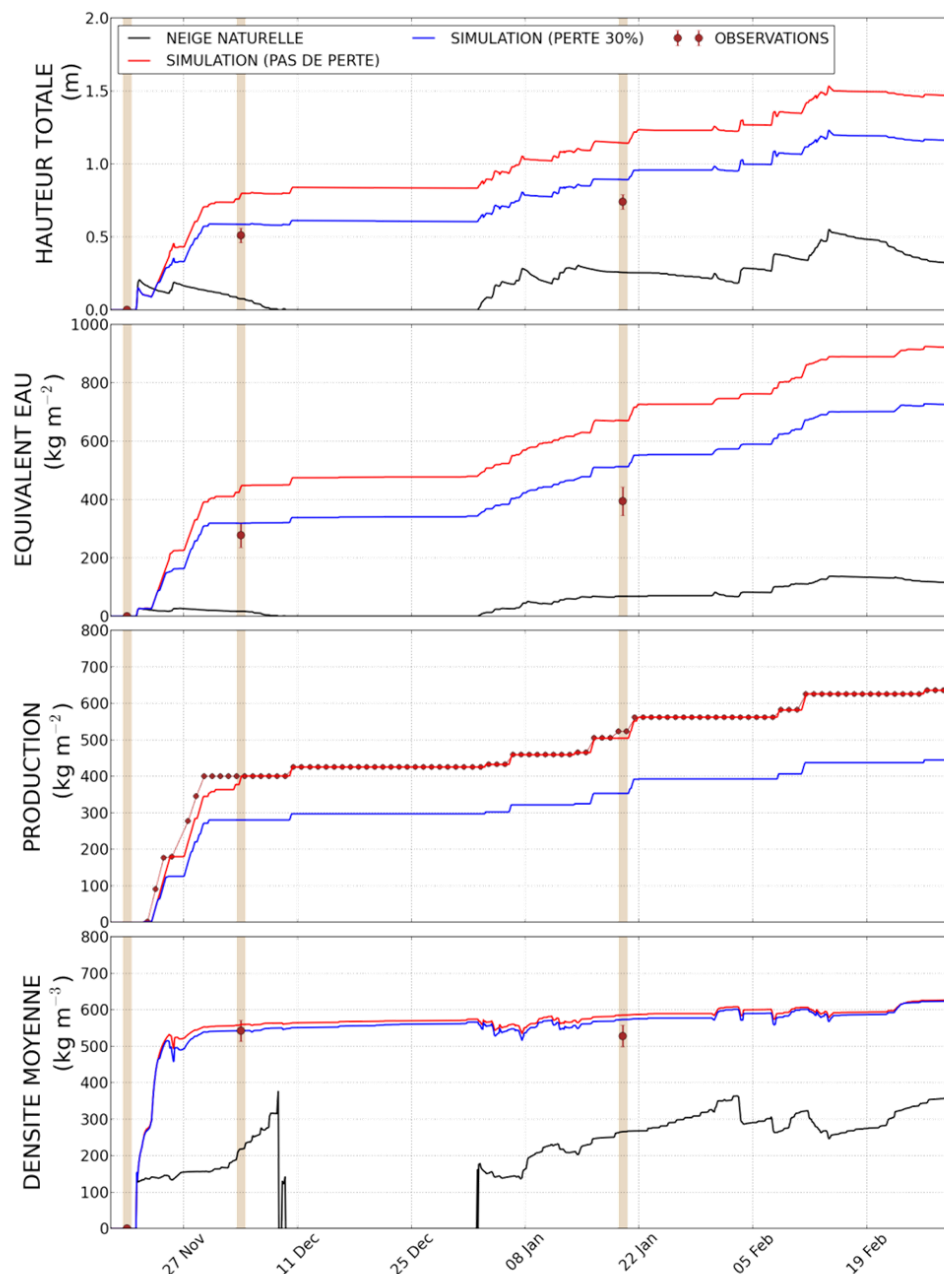
Modélisation de l'enneigement

Piste des Coolidge – 2Alpes



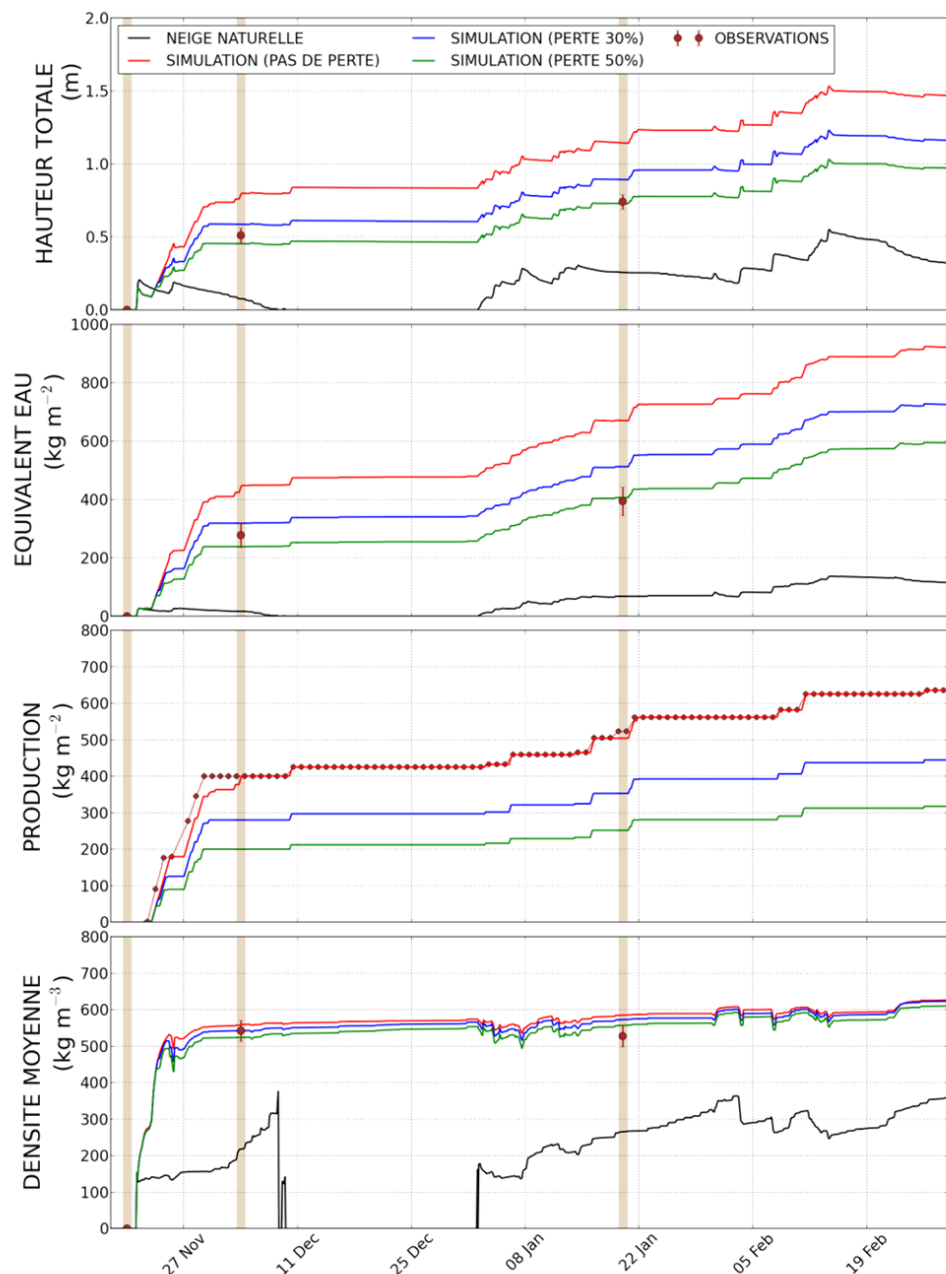
Modélisation de l'enneigement

Piste des Coolidge – 2Alpes



Modélisation de l'enneigement

Piste des Coolidge – 2Alpes



Erreur sur l'Equivalent en Eau

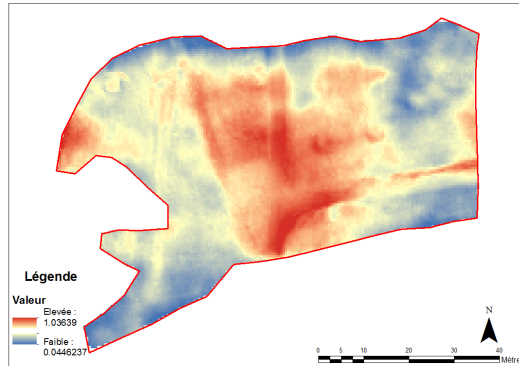
PERTE (%)	RMSE (kg m ⁻²)
NEIGE NATURELLE	186
0%	152
30%	63
40%	35
50%	20
60%	38

4 DECEMBRE	
PERTE (%)	Erreur (kg m ⁻²)
NEIGE NATURELLE	-260
0%	167
30%	42
40%	1
50%	-39
60%	-79

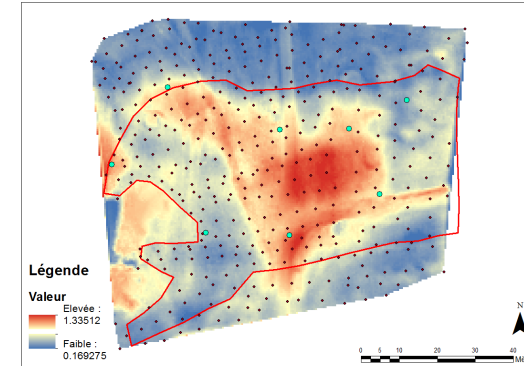
20 JANVIER	
PERTE (%)	Erreur (kg m ⁻²)
NEIGE NATURELLE	-325
0%	297
30%	134
40%	79
50%	24
60%	-30

Merci!

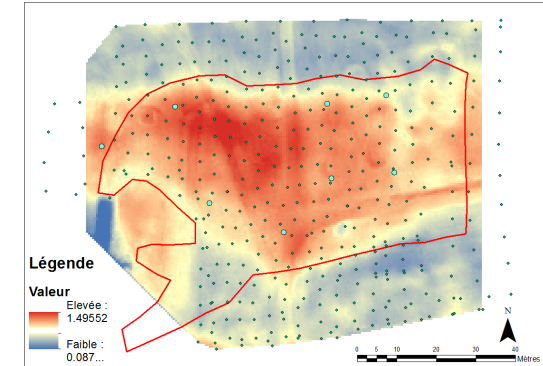
2015 – 12 – 04 (gauche)



2016 – 01 – 20 (milieu)



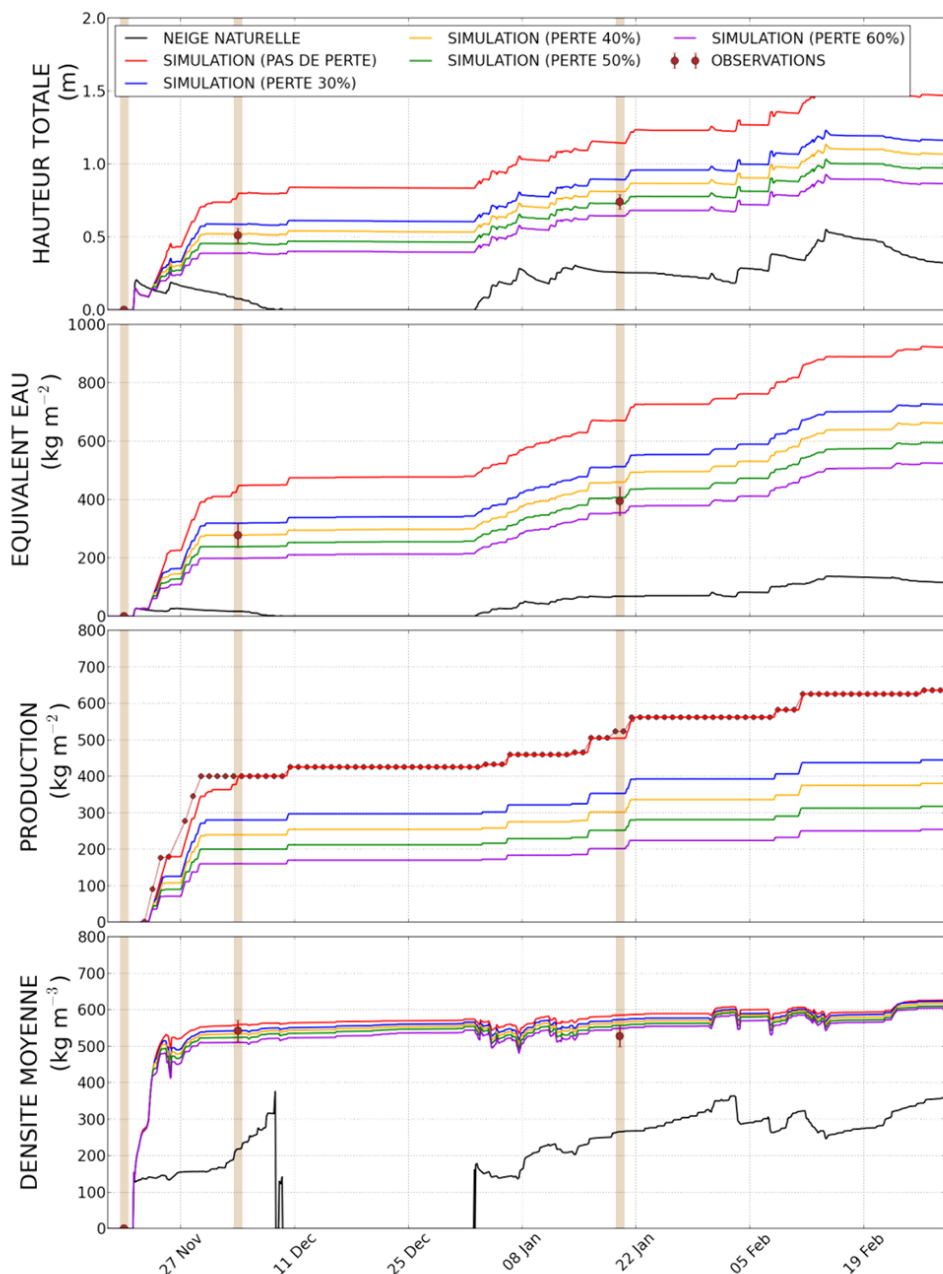
2016 – 04 – 06 (droite)



Elements de complément

Modélisation de l'enneigement

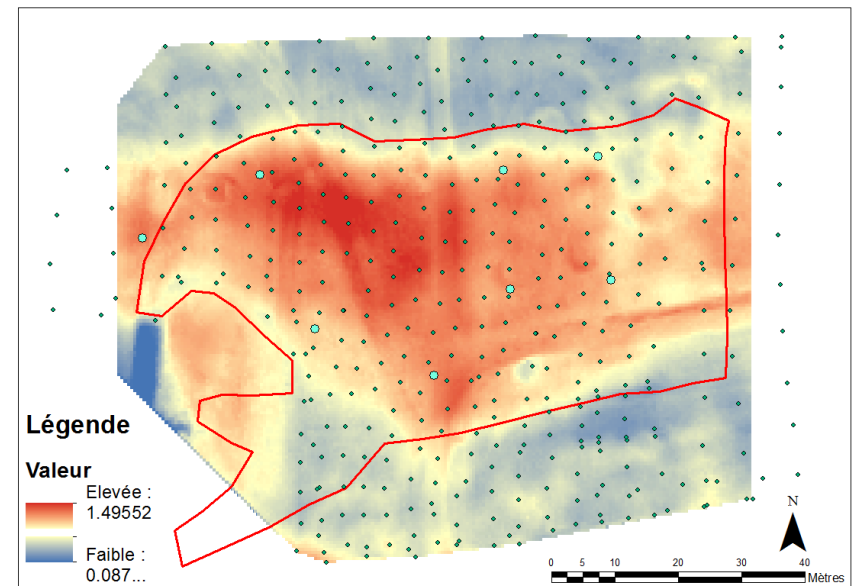
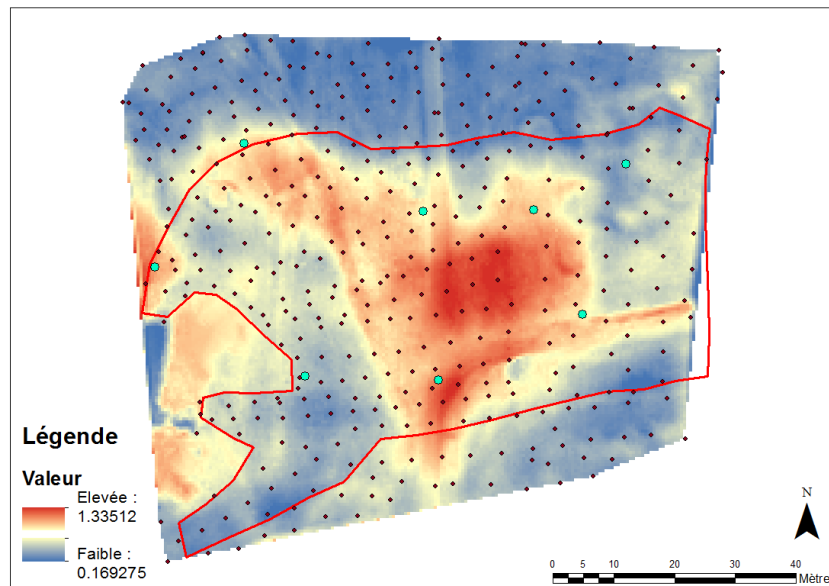
Piste des Coolidge – 2Alpes



Dates ultérieures

2016 – 01 – 20 (gauche)

2016 – 04 – 06 (droite)

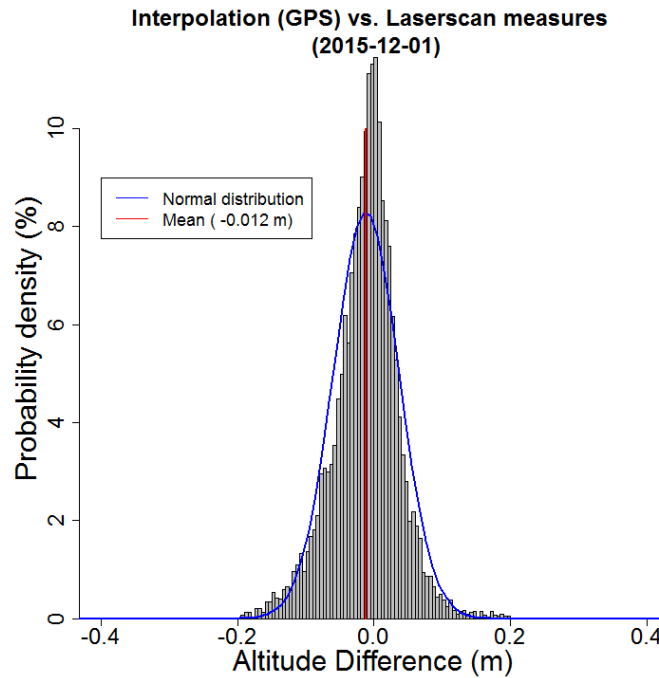


PICO #1.11 - Assessing the efficiency of snowmaking in ski resorts

Spandre P.^{1,2,*}, François H.¹, Thibert E.¹, Morin S.², George-Marcelpoil E.¹

¹ Université Grenoble Alpes, Irstea, ² Météo-France - CNRS, Grenoble, France

Evaluation of interpolation



Shared session with a laserscanner
(Surface 2012m²)

GPS points vs. Laserscan points

Mean difference - 0.0046 m
Standard Dev. 0.055 m

Interpolation (Delaunay Triangulation) vs. Laserscan points

Mean difference - 0.012 m
Standard Dev. 0.048 m

=> Distribution of differences
assumed to follow
a normal law

Evaluation of interpolation

Propagation of uncertainties (Normal distribution assumed)

Variability of laserscan measures $\sigma_{LS} = 0.031 \text{ m}$

within a pixel (0.5 m x 0.5 m) => retained uncertainty on snow surface altitude

Uncertainty on **Snow Depth** (SD)
(Altitude difference) $\sigma_{SD} = \sqrt{2} \times \sigma_{LS} = 0.044 \text{ m}$

Uncertainty on **Density** (Rho) $\sigma_{Rho} = 30 \text{ kg m}^{-3}$

Uncertainty on **Equivalent water** (SWE) $\frac{\sigma_{SWE}}{SWE_{moy}} = \frac{\sigma_{Rho}}{Rho_{moy}} + \frac{\sigma_{SD}}{SD_{moy}}$